

162  
F-96/4/  
62 996/4/12

162

Том 41, Номер 12

Декабрь 1996

ISSN 0033-8494

РОССИЙСКАЯ АКАДЕМИЯ НАУК

# РАДИОТЕХНИКА и ЭЛЕКТРОНИКА

Главный редактор  
Ю.В. Гуляев

последовательной азимутальной обработки наблюдаемых данных за время ЗОНГА с интерферометром Фабри-Перо и приведены результаты статистического анализа синтезированного алгоритма.

## Логарифм функционала отношения приводов и его свойства

Внешними источниками внешнего ГИ могут быть лазовые зонды в газах [1], Сателлер [2], вспышки излучения передачи информации полукаскадного вибратора и тока  $I_0$ , начальная фаза  $\psi_0$  и линейная у



МАИК "НАУКА"

"НАУКА"

$U(\psi_0, \psi_1) = \ln \frac{\psi_1}{\psi_0} - \text{const}$   
 $\theta = 4\pi/\lambda_0(1 - R)$ ,  $R = \text{коэф.}$   
 $X = \text{цр}/\lambda_0$ ,  $B = \sqrt{B_0/\lambda_0}$   
 $G$  – гравитационная постоянная;  $\hbar$  – постоянная Планка;  $c$  – скорость света в вакууме;  $\omega$  – частота лазерной волны;  $I$  – интенсивность интерферометра;  $R$  – показатель отражения зеркал интерферометра;  $\eta$  – квантовая эффективность фотодетектора;  $\theta$  и  $\phi$  – угол преломления световой волны в сферической системе координат, возникший в интерферометре;  $\lambda_0$  – длина волны естественного дробового луча ("стремитель") [3].  
Научные журналы подавлены на определенное количество страниц, чтобы формировать документы с одинаковым количеством страниц. Важно учесть это при подготовке материалов для публикации. Установлено ограничение на количество страниц в статьях и наименование в журнале (без учета заголовков и подзаголовков). Установлено ограничение на количество страниц в статьях и наименование в журнале (без учета заголовков и подзаголовков).

## НОВЫЕ РАДИОЭЛЕКТРОННЫЕ СИСТЕМЫ И ЭЛЕМЕНТЫ

УДК 621.391

### ХАРАКТЕРИСТИКИ ОБНАРУЖЕНИЯ ГРАВИТАЦИОННЫХ ВОЛН ДЕТЕКТОРОМ С ИНТЕРФЕРОМЕТРОМ ФАБРИ-ПЕРО

© 1996 г. А. П. Трифонов, С. В. Ветров

Поступила в редакцию 03.07.93 г.

Найдены структура и условные характеристики обнаружителя при использовании резонатора Фабри-Перо. Приведены результаты статистического моделирования алгоритма обнаружения на ЭВМ.

#### ВВЕДЕНИЕ

Оценочные расчеты потенциальной чувствительности различных типов гравитационных детекторов проведены в [1, 2]. Для уверенного обнаружения непрерывного гравитационного излучения (ГИ) необходимо длительное время наблюдения. Это время может быть в среднем заметно сокращено при использовании последовательных (двухпороговых) алгоритмов обнаружения [3, 4].

В настоящее время разрабатывается новый тип гравитационного детектора, в котором для регистрации ГИ используется интерферометр с лазерной накачкой [1, 2]. Планируется [1] создание лазерно-интерферометрических гравитационных обсерваторий, которые, возможно, позволят обеспечить необходимую чувствительность. Очевидно, что совершенствование техники гравитационно-волнового эксперимента должно сопровождаться разработкой эффективных статистических алгоритмов обработки выходного сигнала лазерно-интерферометрической гравитационной антенны (ЛИГА).

Ниже проведены синтез и анализ аддитивного последовательного алгоритма обработки наблюдаемых данных на выходе ЛИГА с интерферометром Фабри-Перо и представлены результаты статистического моделирования синтезированного алгоритма.

#### 1. ЛОГАРИФМ ФУНКЦИОНАЛА ОТНОШЕНИЯ ПРАВДОПОДОБИЯ И ЕГО СВОЙСТВА

Внеземными источниками непрерывного ГИ могут быть двойные звезды и пульсары [1, 2]. Согласно [2], пульсар излучает периодическую гравитационную волну с плотностью потока мощности  $W_0$ , начальной фазой  $\psi_0$  и линейно убывающей частотой  $\omega_g(t) = \omega_0(1 - t/\tau^*)$ , где  $\omega_0$  – частота ГИ в момент начала наблюдения  $t = 0$ ,  $\tau^*$  – постоянная времени вращения пульсара. В качестве примера ЛИГА рассмотрим антенну с интерферометром Фабри-Перо [2]. Накачка интерферометра осуществляется посредством когерентного

лазерного излучения мощностью  $p$  с длиной волны  $\lambda_e$ . Воздействие на интерферометр непрерывного ГИ вызывает модуляцию интенсивности оптического излучения [2], которое на выходе интерферометра преобразуется при помощи фотодетектора в доступный обработке электрический сигнал. Следовательно, на выходе фотодетектора наблюдается пуассоновский случайный процесс  $\xi(t)$  с интенсивностью [2, 5]

$$\lambda_1(t) = \lambda' p_1(\delta) \{ 1 + p_2(\delta) B \sqrt{W_0} U(\theta_0, \phi_0) \times \cos[\omega_0(1 - t/2\tau^*)t - \psi_0]/\omega_0 \} + \lambda, \quad (1)$$

при наличии ГИ и

$$\lambda_0(t) = \lambda' p_1(\delta) + \lambda, \quad (2)$$

при его отсутствии. Здесь

$$p_1(\delta) = (1 - R)^2 / [(1 - R)^2 + 4R \sin^2(\delta/2)],$$

$$p_2(\delta) = RQ(1 - R) \sin \delta / [(1 - R)^2 + 4R \sin^2(\delta/2)],$$

$$U(\theta_0, \phi_0) = \sin^2 \phi_0 - \cos^2 \theta_0 \cos^2 \phi_0,$$

$$Q = 4\pi l / \lambda_e(1 - R), \quad \delta = 4\pi l / \lambda_e,$$

$$\lambda' = \eta p / \hbar \omega_e; \quad B = \sqrt{8\pi G/c^3},$$

$G$  – гравитационная постоянная;  $\hbar$  – постоянная Планка;  $c$  – скорость света в вакууме;  $\omega_e = 2\pi c / \lambda_e$  – частота лазерной накачки;  $l$  – длина плеча интерферометра;  $R$  – показатель качества зеркал интерферометра;  $\eta$  – квантовая эффективность фотодетектора;  $\theta_0$  и  $\phi_0$  – углы прихода гравитационной волны в сферической системе координат, связанной с интерферометром;  $\lambda_e$  – интенсивность естественного дробового шума ("темнового" тока) фотодетектора [5].

Для реализации процедуры последовательного обнаружения необходимо формировать логарифм функционала отношения правдоподобия (ФОП) как функцию текущего времени наблюдения  $\tau$  и параметров ГИ [3, 4]. Согласно [6],

логарифм ФОП может быть представлен в виде стохастического интеграла по пуассоновской мере:

$$L(\tau, W, \psi) = \int_0^\tau \ln[\lambda_1(t)/\lambda_0(t)] d\xi(t) - \int_0^\tau [\lambda_1(t) - \lambda_0(t)] dt, \quad (3)$$

где  $W, \psi$  – плотность потока мощности и начальная фаза ГИ, в общем случае априори неизвестные наблюдателю. Прогнозируемые значения плотности потока мощности непрерывного ГИ пульсаров достаточно малы [1, 2]:

$$W_0 \leq 10^{-11} \text{ Дж/см}^2 \text{ с.} \quad (4)$$

Полагая к тому же  $\omega_0 \tau \gg 1$ , что обычно выполняется в гравитационно-волновом эксперименте [1, 2], логарифм ФОП (3) приближенно представим в виде

$$L(\tau, W, \psi) = \frac{BU(\theta_0, \phi_0)\rho_2(\delta)}{\omega_0(1+\varepsilon)} \sqrt{W} \times \times \int_0^\tau \cos[\omega_0(1-t/2\tau^*)t - \psi] [d\xi(t) - \lambda' \rho_1(\delta)(1+\varepsilon)dt] - \frac{B^2 U^2(\theta_0, \phi_0)\rho_2^2(\delta)}{\omega_0^2(1+\varepsilon)^2} W \int_0^\tau d\xi(t), \quad (5)$$

где  $\varepsilon = \lambda_1/\lambda' \rho_1(\delta)$ . В выражении (5) опущены члены более высокого порядка малости, чем  $B^2 W / \omega_0^2 \leq 10^{-29}$ .

Одним из способов преодоления априорной неопределенности относительно параметров ГИ  $W$  и  $\psi$  является применение метода максимального правдоподобия [7, 8, 13]. В соответствии с этим методом неизвестные параметры ГИ в логарифме ФОП (5) заменяют на их оценки максимального правдоподобия (ОМП) [7, 8]. Замена неизвестных параметров в (5) на их ОМП сводится к максимизации логарифма ФОП (5) по  $W$  и  $\psi$ . В результате находим решающую статистику

$$\begin{aligned} u(\tau) &= \max_{W, \psi} L(\tau, W, \psi) = \\ &= [X^2(\tau) + Y^2(\tau)] / \int_0^\tau d\xi(t), \end{aligned} \quad (6)$$

где

$$\begin{aligned} X(\tau) \} &= \int_0^\tau \left\{ \begin{array}{l} \cos \\ \sin \end{array} \right\} [\omega_0(1-t/2\tau^*)t] \times \\ Y(\tau) \} &\times [d\xi(t) - \lambda' \rho_1(\delta)(1+\varepsilon)dt]. \end{aligned} \quad (7)$$

В силу малости  $W_0$  (4), последовательную процедуру целесообразно применять [9–11], начиная с некоторой фиксированной длительности наблюдения  $\tau_0 > 0$ . На интервале  $[0, \tau_0]$  осуществляется предварительное накопление данных на выходе ЛИГА. Соответственно, при  $\tau \geq \tau_0$  необходимо сравнивать решающую статистику (6) с постоянными порогами  $a$  и  $b$ ,  $0 < a < b$ . Если  $u(\tau) \geq b$ , то выносится решение о наличии ГИ, а если  $u(\tau) \leq a$  – решение о его отсутствии. Пороги  $a$  и  $b$  последовательного обнаружителя выбирают из условия обеспечения требуемых значений вероятностей ошибок 1- и 2-го родов [3, 4].

Для характерных в гравитационно-волновом эксперименте значений мощности накачки  $p = 1 \text{ Вт}$  и квантовой эффективности фотодетектора  $\eta = 0.3 \dots 1$  [2] интенсивность пуассоновского потока фотоэлектронов равна

$$\lambda' = 10^{17} \dots 10^{18} \text{ с}^{-1}. \quad (8)$$

Поэтому уже при  $\tau \geq 1 \text{ с}$  квадратуры (7) можно с высокой точностью аппроксимировать реализациями гауссовских случайных процессов [5, 6, 12]. Найдем два первых момента этих процессов. При отсутствии ГИ (2) имеем

$$\langle X(\tau) \rangle = \langle Y(\tau) \rangle = 0, \quad (9)$$

$$\begin{aligned} K_{XY} &= \langle X(\tau)Y(\tau) \rangle = 0, \\ K_X(\tau_1, \tau_2) &= K_Y(\tau_1, \tau_2) = \langle X(\tau_1)X(\tau_2) \rangle = \\ &= \langle Y(\tau_1)Y(\tau_2) \rangle = D_0 \min(\tau_1, \tau_2), \end{aligned} \quad (10)$$

где  $D_0 = \mu_0 \rho_1(\delta)(1+\varepsilon)/2\tau_0$ ;  $\mu_0 = \lambda' \tau_0$  – среднее за время  $\tau_0$  число фотоэлектронов, вызванных лазерной накачкой. При наличии ГИ (1)

$$\begin{aligned} \langle X(\tau) \rangle \} &= z(\tau) \sqrt{D_0 \tau} \left\{ \begin{array}{l} \cos \\ \sin \end{array} \right\} \Psi_0, \\ \langle Y(\tau) \rangle \} & \end{aligned} \quad (11)$$

а корреляционные функции квадратур в силу (4) совпадают с (10). В формуле (11)

$$\begin{aligned} z^2(\tau) &= [\langle X(\tau) \rangle^2 + \langle Y(\tau) \rangle^2] / D_0 \tau = \\ &= B^2 U^2(\theta_0, \phi_0) \rho_2^2(\delta) \rho_1(\delta) \mu_0 W_0 \tau / 2 \omega_0^2 (1+\varepsilon) \tau_0 \end{aligned} \quad (12)$$

– отношение сигнал/шум (ОСШ) на выходе линейной части приемника, формирующего решающую статистику  $u(\tau)$  (6) [7].

Кроме того, для интеграла в (6) допустима аппроксимация

$$\int_0^\tau d\xi(t) \approx \mu_0 \rho_1(\delta)(1+\varepsilon) \tau / \tau_0. \quad (13)$$

Действительно, в силу (4) и (8)

$$\left\langle \left[ \int_0^\tau d\xi(\tau) - \mu_0 \rho_1(\delta)(1+\varepsilon)\tau/\tau_0 \right]^2 \right\rangle [\mu_0 \rho_1(\delta) \times \\ \times (1+\varepsilon)\tau/\tau_0]^{-2} \approx [\mu_0 \rho_1(\delta)(1+\varepsilon)\tau/\tau_0]^{-1} \leq 10^{-18}$$

уже при  $\tau \geq 1$  с. Тогда решающую статистику (6) с учетом (9)–(13) можно записать как [8]

$$u(\tau) = [X_0^2(\tau) + Y_0^2(\tau)]/2, \quad (14)$$

где

$$\begin{aligned} \langle X_0(\tau) \rangle &= iz(\tau) \begin{cases} \cos \\ \sin \end{cases} \Psi_0 + \sqrt{\frac{\tau_0}{\tau}} w \begin{cases} 1 \\ 2 \end{cases} (\tau/\tau_0). \quad (15) \\ \langle Y_0(\tau) \rangle &= \end{aligned}$$

Здесь при наличии ГИ (1)  $i=1, i=0$  при его отсутствии (2);  $w_k(\tau)$ ,  $k=1, 2$ , – независимые стандартные винеровские процессы [13]. Как нетрудно убедиться, функции (7) и их аппроксимации (15) имеют одинаковые два первых момента (9)–(12). Хотя функции (7) в общем случае не являются гауссовскими, при выполнении (8) и  $\tau \geq 1$  с коэффициенты асимметрии и эксцесса их распределений имеют порядок малости соответственно  $10^{-15}$  и  $10^{-11}$ . Это позволяет с достаточной для большинства практических приложений точностью аппроксимировать решающую статистику (6) функцией (14). Отметим также, что согласно [12, 13] точность такой аппроксимации растет с увеличением  $\mu_0$ . Одномерная плотность вероятности аппроксимации решающей статистики (14) имеет вид [13]

$$W_{0i}(x, \tau) = \exp\{-[x + iz^2(\tau)]/2\} \times \quad (16) \\ \times I_0[iz(\tau)\sqrt{x}]/2,$$

$x \geq 0$ , где  $I_0(\cdot)$  – модифицированная функция Бесселя нулевого порядка мнимого аргумента.

## 2. УСЛОВНЫЕ ХАРАКТЕРИСТИКИ ПОСЛЕДОВАТЕЛЬНОГО ОБНАРУЖИТЕЛЯ

Найдем условные характеристики последовательного обнаружителя при фиксированном ОСШ  $z_0^2 = z^2(\tau_0)$  (12). Когда нет ГИ (2), решающая статистика  $u(\tau)$  (14) является реализацией квадрата рэлеевского марковского случайного процесса [11, 13] с коэффициентами сноса и диффузии:  $M_0(u, \tau) = (1-u)/\tau$ ,  $K_0(u, \tau) = 2u/\tau$ . Для расчета вероятности ошибки 1-го рода (ложной тревоги) и средней длительности наблюдения (СДН) при отсутствии ГИ введем процесс  $\tilde{u}(v) = u(\tau(v))$  с новым временем  $v = \ln(\tau/\tau_0)$ . Процесс  $\tilde{u}(v)$  также является марковским [13] и имеет коэффициенты сноса и диффузии:  $\tilde{M}_0(\tilde{u}) = 1 - \tilde{u}$ ,  $\tilde{K}_0(\tilde{u}) = 2\tilde{u}$ .

Применяя к процессу  $\tilde{u}(v)$  методику [4], найдем вероятность ложной тревоги  $\alpha(a, b)$  и СДН  $\tau_M(a, b)$  при отсутствии ГИ:

$$\alpha(a, b) = \ln(b/a)[Ei(b) - Ei(a)], \quad (17)$$

$$\begin{aligned} \tau_N(a, b) = \tau_0 \left[ \int_0^\infty \exp(\tau) W(\tau, x_0) \times \right. \\ \left. \times W_{00}(x_0) d\tau dx_0 + 1 \right]. \quad (18) \end{aligned}$$

Здесь  $W(\tau, x_0)$  – условная плотность вероятности момента первого пересечения процессом  $\tilde{u}(\tau)$  одного из порогов  $a$  или  $b$ , которая удовлетворяет уравнению Понтрягина [13]:

$$\frac{\partial W(\tau, x)}{\partial \tau} = \frac{\tilde{K}_0(x)}{2} \frac{\partial^2 W(\tau, x)}{\partial x^2} + \tilde{M}_0(x) \frac{\partial W(\tau, x)}{\partial x} \quad (19)$$

с начальными и граничными условиями  $W(0, x) = 0$ ;  $W(\tau, a) = W(\tau, b) = \delta(\tau)$ ;  $W_{00}(x_0) = W_{00}(x_0, \tau_0)$  – плотность вероятности (16) при  $\tau = \tau_0$  и  $i = 0$ . Решая уравнение (19) и подставляя его решение в (18), получаем СДН  $\tau_M(a, b)$  при отсутствии ГИ:

$$\begin{aligned} \tau_N(a, b) \approx \tau_0 \{ C_1 [\exp(-a)(1 - Ei(a)) - \\ - \exp(-b)(1 - Ei(b))] + C_2 [\exp(-a)(a+2) - \\ - \exp(-b)(b+2)] \} + \tau_0, \quad (20) \end{aligned}$$

где  $Ei(x) = \int_{-\infty}^x \exp(t) dt/t$  – интегральная показательная функция;

$$\begin{aligned} C_1 = (a-b)/q; \quad C_2 = [(1-a)Ei(a) - \\ - (1-b)Ei(b) + \exp(a) - \exp(b)]/q; \\ q = (1-a)(1-b)(Ei(a) - Ei(b)) + \\ + \exp(a)(1-b) - \exp(b)(1-a). \end{aligned}$$

При наличии ГИ (1) затруднительно определить вероятность ошибки 2-го рода (пропуска сигнала) и СДН. Поэтому рассмотрим вначале случай не слишком малых ОСШ  $z_0^2$ , полагая по-прежнему, что выполняется (4). Аналогично [11] представим решающую статистику (14) с учетом (15) как [7, 8]

$$u(\tau) \approx z^2(\tau)/2 + \sqrt{\tau_0/\tau} z(\tau) \{ w_1(\tau/\tau_0) \cos \Psi_0 + \quad (21) \\ + w_2(\tau/\tau_0) \sin \Psi_0 \},$$

где опущены члены  $O(1)$ . При фиксированном значении  $\Psi_0$  функция (21) является реализацией гауссовского марковского случайного процесса с коэффициентами сноса и диффузии:  $M_1 = z_0^2/2\tau_0$ ,  $K_1 = z_0^2/\tau_0$  [11, 13]. Тогда, используя методику [3, 4],

для вероятности пропуска  $\beta(a, b, z_0)$  и СДН  $\tau_s(a, b, z_0)$  при наличии ГИ имеем [9]

$$\begin{aligned} \beta(a, b, z_0) \approx & [\Phi(f + z_0/2) - \Phi(h + z_0/2) + \\ & + \exp(-a)\Phi(h - z_0/2) -] \quad (22) \end{aligned}$$

$$\begin{aligned} \tau_s(a, b, z_0) \approx & (2\tau_0/z_0)\{(f - z_0/2)\Phi(f - z_0/2) - \\ & - (h - z_0/2)\Phi(h - z_0/2) - \beta(a, b, z_0)(f - h) - \\ & - (2\pi)^{-1/2}\{\exp[-(h - z_0/2)^2/2]\}\} + \tau_0. \quad (23) \end{aligned}$$

В выражениях (22) и (23)  $f = b/z_0$ ,  $h = a/z_0$  — нормированные пороги,  $\Phi(x) = \int_{-\infty}^x \exp(-t^2/2)dt/\sqrt{2\pi}$  — интеграл вероятности.

Однако вследствие приближенного характера формулы (21) по мере уменьшения  $z_0^2$  точность расчета вероятности пропуска (22) и СДН (23) уменьшается. Найдем приближенные выражения для вероятности пропуска  $\tilde{\beta}(a, b)$  и СДН  $\tilde{\tau}_s(a, b)$ , справедливые при малых  $z_0$ . Пренебрегая в (14) членами порядка малости  $z_0$  и  $z_0^2$ , следуя [4, 10], получим

$$\begin{aligned} \tilde{\beta}(a, b) \approx & 1 - \alpha(a, b) + \exp(-a)Ei(a) - \\ & - \exp(-b)Ei(b), \quad (24) \end{aligned}$$

$$\tilde{\tau}_s(a, b) \approx \tau_N(a, b). \quad (25)$$

Тогда для последовательного алгоритма целесообразно выбирать пороги  $a$  и  $b$  следующим образом [10]:

$$a = \max(a_1, a_2(z_0)), \quad b = \min(b_1, b_2(z_0)). \quad (26)$$

Это позволит избежать чрезмерного увеличения СДН. В формулах (26) пороги  $a_1, b_1$  рассчитываются по формулам (17) и (24), а пороги  $a_2(z_0), b_2(z_0)$  — по формулам (17) и (22) в соответствии с заданными вероятностями ошибок обнаружения  $\alpha_0$  и  $\beta_0$ .

Введем время наблюдения  $T$ , необходимое для обеспечения заданных значений  $\alpha_0$  и  $\beta_0$  при использовании непоследовательного (однопорогового) алгоритма обнаружения. Тогда выигрыш в результате применения последовательного обнаружителя может быть охарактеризован величинами  $\delta_s = T/\tau_s$  и  $\delta_N = T/\tau_N$  соответственно при наличии и отсутствии ГИ. На рис. 1 представлены зависимости  $\delta_s(z_0)$  (штриховая линия) и  $\delta_N(z_0)$  (сплошная линия), рассчитанные по формулам (19), (23), (25) с учетом (26) при типичных для гравитационно-волнового эксперимента значениях  $\alpha_0 = 0.05$ ,  $\beta_0 = 0.3$  [2].

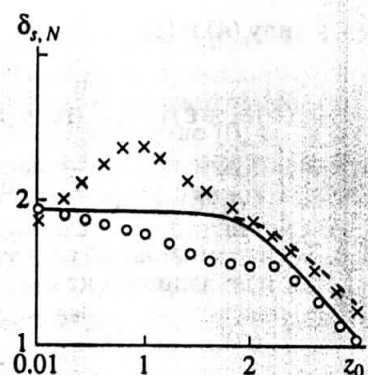


Рис. 1. Средний выигрыш в длительности наблюдения.

Анализ рис. 1 показывает, что применение последовательной процедуры обнаружения позволяет значительно сократить СДН. В частности, при малых ОСШ  $z_0 \leq 0.01$ , характерных для гравитационно-волнового эксперимента, время наблюдения при использовании последовательного алгоритма в среднем в 2 раза меньше, чем при использовании однопорогового алгоритма.

### 3. АДАПТИВНЫЙ ПОСЛЕДОВАТЕЛЬНЫЙ ОБНАРУЖИТЕЛЬ

Согласно (26), пороги обнаружителя зависят от величины ОСШ  $z_0$ , которая определяется априори неизвестным значением  $W_0$  плотности потока мощности ГИ. Поэтому предлагаем использовать адаптивный вариант выбора порогов последовательного обнаружителя [11]. Адаптивный обнаружитель для каждого момента времени  $\tau$  должен определять по решающей статистике  $u(\tau)$  (6) оценку  $\hat{z}_0^2(\tau)$  неизвестного ОСШ  $z_0^2$ , а затем находить пороги  $a$  и  $b$  (26) в соответствии с заданными вероятностями  $\alpha_0$  и  $\beta_0$ . Одним из возможных вариантов адаптации по неизвестному параметру  $W_0$  является его оценивание по методу максимального правдоподобия [7, 8, 14].

В соответствии с определением ОМП [7, 8] для ОМП  $W_m$  плотности потока мощности ГИ можно записать

$$W_m(\tau) = \underset{W}{\operatorname{argsup}} L(\tau, W), \quad (27)$$

где

$$L(\tau, W) = \underset{\psi}{\operatorname{sup}} L(\tau, W, \psi).$$

Используя представление логарифма ФОП в виде (5), находим

$$W_m(\tau) = \frac{4(1+\varepsilon)^2 \omega_0}{BU(\theta_0, \phi_0) \rho_2(\delta)} u(\tau). \quad (28)$$

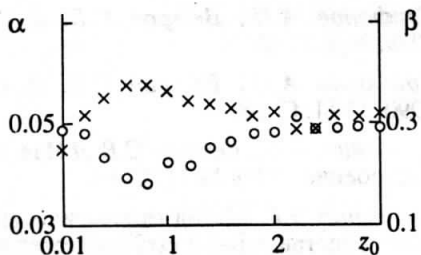


Рис. 2. Вероятности ошибок обнаружения.

Подставляя (28) в (12) и используя (13), получаем оценку ОСШ:

$$\hat{z}_0^2(\tau) = 2u(\tau)\tau_0/\tau. \quad (29)$$

Таким образом, адаптивный последовательный обнаружитель должен сравнивать решающую статистику  $u(\tau)$  (6) с двумя случайными порогами, найденными по (26) для текущей оценки  $\hat{z}_0^2(\tau)$  (29). При расчете вероятностей ошибок обнаружения и СДН возникают существенные математические трудности [14]. Однако из [7, 8] следует, что оценка  $\hat{z}_0^2(\tau)$  (29) при увеличении времени наблюдения сходится в среднеквадратическом к истинному значению ОСШ  $z_0^2$ . Поэтому можно ожидать, что характеристики адаптивного последовательного обнаружителя с увеличением СДН сходятся к условным характеристикам, полученным выше для фиксированных значений ОСШ  $z_0^2$  [14]. Отметим, что для гравитационно-волнового эксперимента характерны значительные длительности наблюдения:  $\sim 10^6$  с [2].

#### 4. РЕЗУЛЬТАТЫ СТАТИСТИЧЕСКОГО МОДЕЛИРОВАНИЯ

Полученные выше выражения для характеристик последовательного обнаружителя являются приближенными. С целью установления границ их применимости, а также проверки работоспособности и эффективности адаптивного последовательного обнаружителя выполнено его статистическое моделирование на ПЭВМ IBM.

Поскольку функция (14) аппроксимирует решающую статистику (6) с достаточной для большинства приложений точностью, в процессе моделирования формировались дискретные отсчеты ее квадратур (15). Шумовые составляющие [7, 8] квадратур (15) формировались из некоррелированной стационарной последовательности гауссовских случайных чисел с параметрами распределения (0, 1) методом взвешенного суммирования [15]. На основе сформированных дискретных последовательностей реализаций решающей статистики (15) аппроксимировались

ступенчатыми функциями. Шаг дискретизации выбирали равным  $0.01\tau_0$ , так что относительная среднеквадратичная погрешность аппроксимации не превышала 10%. Процесс формирования дискретных отсчетов продолжался до достижения ими одного из порогов последовательного обнаружителя. После чего выносилось решение о наличии или отсутствии ГИ. Для ускорения процесса моделирования применен метод зависимых испытаний [16]. Число обрабатываемых реализаций выбирали так, чтобы с вероятностью 0.9 границы доверительного интервала отклонялись от экспериментальных значений не более чем на 10 ... 15%.

Для каждого дискретного отсчета решающей статистики (14) в соответствии с (29) определяли текущую оценку ОСШ. Затем на основе решения систем трансцендентных уравнений (17), (22) и (17), (24) для заданных значений  $\alpha_0 = 0.05$  и  $\beta_0 = 0.3$  вычисляли требуемые пороги  $a$  и  $b$  (26). Эти системы уравнений решали методом наискорейшего спуска [17]. При этом до начала процесса моделирования определяли пороги  $a$ ,  $b$  для ряда фиксированных (узловых) значений ОСШ  $z_0^2$ . В процессе моделирования для текущей оценки ОСШ (29) значения порогов  $a$  и  $b$  вычисляли методом линейной интерполяции.

На рис. 1 нанесены результаты статистического моделирования адаптивного последовательного обнаружителя: кружочки при отсутствии ГИ, крестики при его наличии. В процессе моделирования контролировали значения вероятностей ошибок обнаружения. Полученные в результате моделирования значения вероятностей ложной тревоги  $\alpha$  и пропуска  $\beta$  представлены на рис. 2 в обозначениях рис. 1.

Сравнение результатов статистического моделирования и теоретических расчетов (рис. 1 и 2) показывает их удовлетворительное согласование при  $z_0 > 2$  и  $z_0 \leq 0.2$ . Кроме того, результаты моделирования подтверждают целесообразность применения адаптивного последовательного обнаружителя для сокращения СДН в гравитационно-волновом эксперименте.

Приведем пример численной оценки СДН. Рассмотрим ЛИГА с параметрами [2]  $p = 1$  Вт,  $\eta = 1$ ,  $\lambda_e = 5 \times 10^{-7}$  м,  $l = 10$  м,  $R = 0.9999$ . В качестве гипотетического источника непрерывного ГИ выберем пульсар NP0532. Параметры его ГИ имеют прогнозируемые значения  $\omega_0 = 400$  рад/с,  $\tau^* = 10^{11}$  с,  $W = 10^{-11}$  Дж/см<sup>2</sup> с [1, 2]. При  $\alpha_0 = 0.05$ ,  $\beta_0 = 0.3$  и  $\tau_0 = 10^4$  с ( $z_0 = 0.01$ ) требуемая СДН составляет приближенно  $5 \times 10^5$  с (около недели). Дальнейшее сокращение СДН возможно за счет увеличения мощности накачки и длины базы интерферометра.

## СПИСОК ЛИТЕРАТУРЫ

1. Грищук Л.П. // Успехи физ. наук. 1989. Т. 61. № 2. С. 297.
2. Бичак И., Руденко В.Н. Гравитационные волны в ОТО и проблема их обнаружения. М.: Изд-во МГУ, 1987.
3. Сосулин Ю.Г. Теория обнаружения и оценивания стохастических сигналов. М.: Сов. радио, 1978.
4. Сосулин Ю.Г., Фишман М.М. Теория последовательных решений и ее применение. М.: Радио и связь, 1987.
5. Курикиша А.А. Квантовая оптика и оптическая локация. М.: Сов. радио, 1973.
6. Большаков И.А., Ракошиц В.С. Прикладная теория случайных потоков. М.: Сов. радио, 1978.
7. Куликов Е.И., Трифонов А.П. Оценка параметров сигналов на фоне помех. М.: Сов. радио, 1978.
8. Трифонов А.П., Шинаков Ю.С. Совместное различие и оценка параметров сигналов на фоне помех. М.: Радио и связь, 1986.
9. Трифонов А.П., Ветров С.В. // Радиотехника. 1989. № 2. С. 65.
10. Трифонов А.П., Ветров С.В. // Радиотехника. 1990. № 11. С. 26.
11. Трифонов А.П., Ветров С.В. // Изв. вузов. Приборостроение. 1990. № 11. С. 14.
12. Марченко Б.Г. Метод стохастических интегральных представлений и его приложения в радиотехнике. Киев: Наук. думка, 1973.
13. Тихонов В.И., Миронов М.А. Марковские процессы. М.: Сов. радио, 1977.
14. Репин В.Г., Тартаковский Г.П. Статистический синтез при априорной неопределенности и адаптация информационных систем. М.: Сов. радио, 1978.
15. Быков В.В. Цифровое моделирование в статистической радиотехнике. М.: Сов. радио, 1971.
16. Полляк Ю.Г. Вероятностное моделирование на электронных вычислительных машинах. М.: Сов. радио, 1971.
17. Хемминг Р.В. Численные методы. М.: Мир, 1972.